

in base alla definizione di operatore di inerzia (cfr. le (44.7) e (44.14)), l'azione dell'operatore di inerzia  $I$  sull'asse di simmetria  $\mathbf{e}$  dà  $I\mathbf{e} = c_0\mathbf{e}$ . Infatti, per simmetria (nel limite  $N \rightarrow \infty$ ), per ogni punto con coordinate  $(Q_1, Q_2, Q_3)$  ce n'è uno con coordinate  $(-Q_1, -Q_2, Q_3)$ . Quindi  $\mathbf{e}_3 = \mathbf{e}$  è un asse di inerzia e il momento principale di inerzia associatogli è  $I_3 = c_0$ . Inoltre  $\mathbf{e}_1$  ed  $\mathbf{e}_2$  sono ortogonali a  $\mathbf{e}_3$ . Per simmetria una qualsiasi scelta di due assi ortogonali tra loro e contenuti nel piano perpendicolare a  $\mathbf{e}_3$  e passante per il centro di massa del sistema rigido è valida (cfr. l'osservazione 44.6).

**Osservazione 44.18** Dato un sistema rigido piano, sia  $\pi$  il piano in cui il sistema è contenuto. Allora uno degli assi di inerzia è sempre ortogonale a  $\pi$ , mentre gli altri due sono in  $\pi$  (cfr. l'esercizio 6).

## §45 Momenti di inerzia di alcuni sistemi rigidi

Nel presente paragrafo applichiamo i risultati discussi nel paragrafo precedente per calcolare i momenti principali di inerzia rispetto al centro di massa di alcuni sistemi rigidi notevoli. Altri esempi saranno discussi negli esercizi 31÷41.

**Esempio 45.1** Gli assi di inerzia (rispetto al centro di massa) del sistema costituito da due punti di massa  $m$  e mutua distanza  $d$  individuano una terna con origine nel centro di massa, con  $\mathbf{e}_3$  diretto lungo la retta passante per i due punti ed  $\mathbf{e}_1, \mathbf{e}_2$  nel piano perpendicolare a tale retta (cfr. la figura 10.2). Si noti che  $\mathbf{e}_1$  ed  $\mathbf{e}_2$  non sono univocamente determinati (cfr. le osservazioni 44.6 e 44.17): qualsiasi coppia di vettori ortogonali tra loro e all'asse  $\mathbf{e}_3$  costituiscono due assi di inerzia.

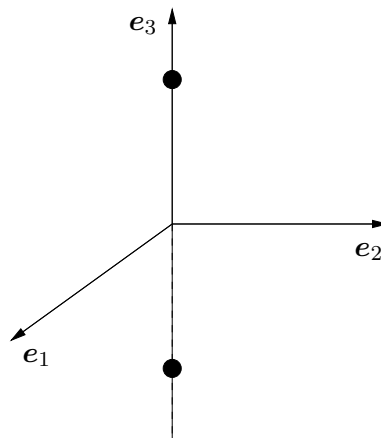


Figura 10.2: Assi di inerzia di un sistema costituito da due punti materiali (esempio 45.1).

I momenti principali di inerzia corrispondenti sono (cfr. l'esercizio 10)

$$I_1 = I_2 = \frac{1}{2} md^2, \quad I_3 = 0. \quad (45.1)$$

### §45.1 Asta

Gli assi di inerzia (rispetto al centro di massa) di un'asta (o sbarra) omogenea di sezione trascurabile, di massa  $m$  e di lunghezza  $\ell$  (densità lineare  $\lambda = m/\ell$ ) individuano una terna con origine nel centro di massa del sistema, con  $e_3$  diretto lungo l'asta ed  $e_1, e_2$  ortogonali ad  $e_3$  (cfr. la figura 10.3).

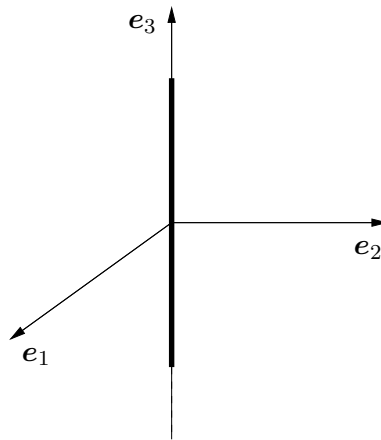


Figura 10.3: Assi di inerzia di un'asta omogenea.

I momenti principali di inerzia corrispondenti sono (cfr. l'esercizio 11)

$$I_1 = I_2 = \frac{1}{12} m\ell^2, \quad I_3 = 0. \quad (45.2)$$

Il momento di inerzia rispetto a un asse  $e$  passante per un estremo dell'asta e perpendicolare a essa è

$$I_e = \frac{2}{3} m\ell^2. \quad (45.3)$$

### §45.2 Anello sottile

Gli assi di inerzia (rispetto al centro di massa) di un anello sottile (o anello tout court) omogeneo di massa  $m$  e raggio  $r$  (densità lineare  $\lambda = m/2\pi r$ ) individuano una terna con origine nel centro di massa, con  $e_3$  ortogonale al piano dell'anello ed  $e_1, e_2$  contenuti in tale piano (cfr. la figura 10.4).

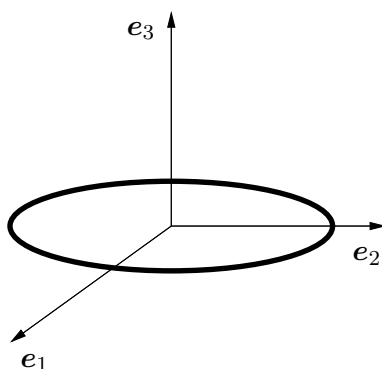


Figura 10.4: Assi di inerzia di un anello sottile.

I momenti principali di inerzia corrispondenti sono (cfr. l'esercizio 12)

$$I_1 = I_2 = \frac{1}{2} mr^2, \quad I_3 = mr^2. \quad (45.4)$$

### §45.3 Disco

Gli assi di inerzia (rispetto al centro di massa) di un *disco* omogeneo sottile di massa  $m$  e raggio  $r$  (densità superficiale  $\sigma = m/\pi r^2$ ) individuano una terna con origine nel centro di massa del sistema, con  $e_3$  ortogonale al piano del disco ed  $e_1, e_2$  contenuti in tale piano (cfr. la figura 10.5).

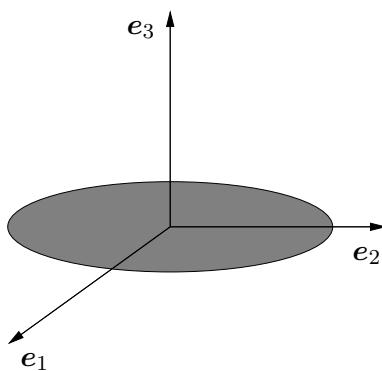


Figura 10.5: Assi di inerzia di un disco sottile.

I momenti principali di inerzia corrispondenti sono (cfr. l'esercizio 13)

$$I_1 = I_2 = \frac{1}{4} mr^2, \quad I_3 = \frac{1}{2} mr^2. \quad (45.5)$$

### §45.4 Anello spesso

Gli assi di inerzia (rispetto al centro di massa) di un *anello spesso* (o *corona circolare*) omogeneo di massa  $m$ , raggio esterno  $b$  e raggio interno  $a \leq b$  (densità superficiale  $\sigma = m/\pi(b^2 - a^2)$ ) individuano una terna con origine nel centro di massa del sistema, con  $e_3$  ortogonale al piano dell'anello ed  $e_1, e_2$  contenuti in tale piano (cfr. la figura 10.6).

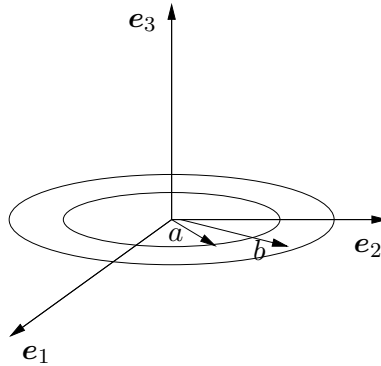


Figura 10.6: Assi di inerzia di un anello.

I momenti principali di inerzia corrispondenti sono (cfr. l'esercizio 14)

$$I_1 = I_2 = \frac{1}{4} m(a^2 + b^2), \quad I_3 = \frac{1}{2} m(a^2 + b^2). \quad (45.6)$$

Si noti che, per  $a = b$ , ritroviamo l'anello sottile del §45.2, con raggio  $r = a = b$ , mentre, per  $a = 0$ , ritroviamo il disco del §45.3, con raggio  $r = b$ .

### §45.5 Cilindro circolare retto

Si consideri un *cilindro circolare retto* omogeneo di massa  $m$ , raggio  $r$  e altezza  $h$ . Il volume del cilindro è  $\pi r^2 h$  e la sua densità di volume  $\rho = m/\pi r^2 h$ . Gli assi di inerzia (rispetto al centro di massa) individuano una terna con origine nel centro di massa del sistema, con  $e_3$  diretto lungo l'asse del cilindro ed  $e_1, e_2$  ortogonali ad  $e_3$  (cfr. la figura 10.7). I momenti principali di inerzia corrispondenti sono (cfr. l'esercizio 15)

$$I_1 = I_2 = \frac{1}{12} m(3r^2 + h^2), \quad I_3 = \frac{1}{2} mr^2. \quad (45.7)$$

Si noti che per  $r \rightarrow 0$  si ottiene l'asta del §45.1, mentre per  $h \rightarrow 0$  si ottiene il disco del §45.3. Il momento di inerzia rispetto a un asse  $e$  passante per un diametro di una base del cilindro è (cfr. l'esercizio 16)

$$I_e = m \left( \frac{1}{3} h^2 + \frac{1}{4} r^2 \right).$$

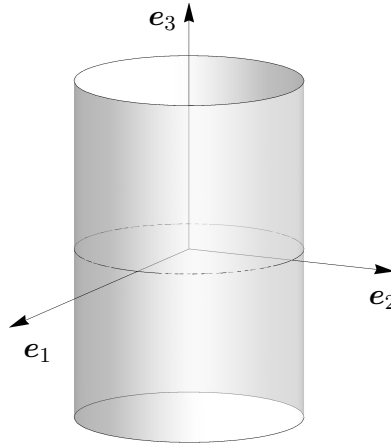


Figura 10.7: Assi di inerzia di un cilindro circolare retto.

### §45.6 Sfera

Gli assi di inerzia (rispetto al centro di massa) di una *sfera* omogenea di massa  $m$  e raggio  $r$  (così che il suo volume e la sua densità di volume sono, rispettivamente,  $4\pi r^3/3$  e  $\rho = 3m/4\pi r^3$ ) individuano una terna con origine nel centro di massa del sistema, con  $e_1, e_2, e_3$  arbitrari, purché ortogonali tra loro (cfr. la figura 10.8).

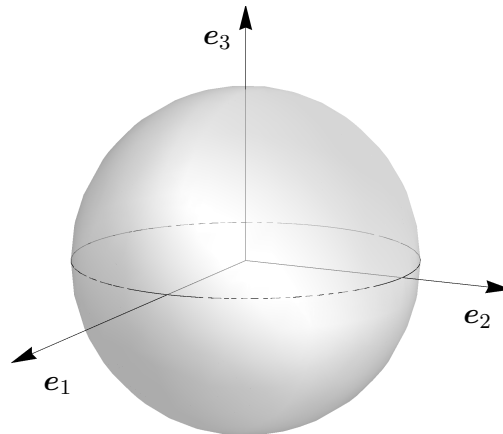


Figura 10.8: Assi di inerzia di una sfera.

I momenti principali di inerzia corrispondenti sono (cfr. l'esercizio 17)

$$I_1 = I_2 = I_3 = \frac{2}{5} mr^2. \quad (45.8)$$

Il momento di inerzia rispetto a un asse  $e$  tangente alla superficie è (cfr. l'esercizio 18)

$$I_e = \frac{7}{5} mr^2.$$

### §45.7 Lamina rettangolare

Gli assi di inerzia (rispetto al centro di massa) di una *lamina rettangolare* (o *lastra rettangolare*) omogenea di massa  $m$ , e lati di lunghezza  $a$  e  $b$  (così che la sua area e la sua densità superficiale sono, rispettivamente,  $ab$  e  $\sigma = m/ab$ ) individuano una terna con origine nel centro di massa del sistema, con  $e_3$  ortogonale al piano della lamina,  $e_1$  parallelo al lato di lunghezza  $b$  ed  $e_2$  parallelo al lato di lunghezza  $a$ , come si può ricavare con argomenti di simmetria analoghi a quelli discussi nell'osservazione 44.18 (cfr. la figura 10.9).

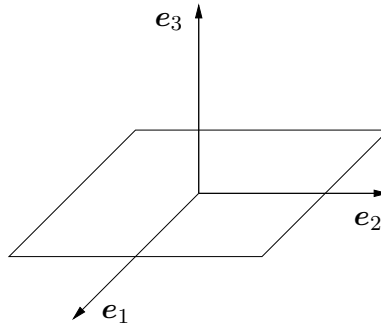


Figura 10.9: Assi di inerzia di una lamina rettangolare.

I momenti principali di inerzia corrispondenti sono (cfr. l'esercizio 19)

$$I_1 = \frac{1}{12} ma^2, \quad I_2 = \frac{1}{12} mb^2, \quad I_3 = \frac{1}{12} m(a^2 + b^2). \quad (45.9)$$

### §45.8 Cono circolare retto

Si consideri un *cono circolare retto* (o *rotondo*) omogeneo di massa  $m$ , raggio  $r$  e altezza  $h$ . Il volume del cono è  $\pi r^2 h/3$  e quindi la sua densità di volume  $\rho = 3m/\pi r^2 h$ . Gli assi di inerzia (rispetto al centro di massa) individuano una terna con origine nel centro di massa del sistema, che si trova lungo l'asse del cono a distanza  $3h/4$  dal vertice, con  $e_3$  diretto lungo l'asse del cono ed  $e_1, e_2$  ortogonali ad  $e_3$  (cfr. la figura 10.10).

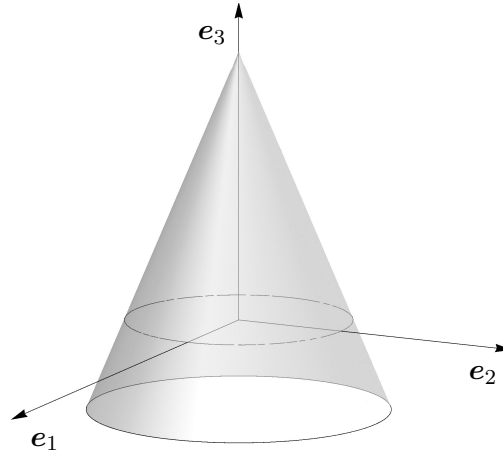


Figura 10.10: Assi di inerzia di un cono circolare retto.

I momenti principali di inerzia corrispondenti sono (cfr. l'esercizio 20)

$$I_1 = I_2 = \frac{3}{80} m(4r^2 + h^2), \quad I_3 = \frac{3}{10} mr^2, \quad (45.10)$$

Il momento di inerzia rispetto a un asse  $e$  passante per il vertice e perpendicolare all'asse del cono  $e_3$  è (cfr. l'esercizio 21)

$$I_e = 3m \left( \frac{1}{5} h^2 + \frac{1}{20} r^2 \right).$$

## §46 Angoli di Eulero

Consideriamo due sistemi di riferimento  $\kappa$  e  $K$ , il primo fisso e il secondo mobile, solidale con un sistema rigido che ruota intorno a un punto fisso di  $O \in \kappa$ . Scegliamo in  $\kappa$  una terna levogira  $\{e_x, e_y, e_z\}$  tale che  $O$  sia l'origine nel sistema  $\kappa$ . Sia  $\{e_1, e_2, e_3\}$  una terna levogira nel sistema mobile, con origine in  $O$  e tale che i suoi versori siano orientati lungo gli assi principali di inerzia del sistema rigido. Supponiamo anche che i due assi  $e_3$  ed  $e_z$  non coincidano. Poiché i due sistemi di riferimento  $\kappa$  e  $K$  hanno la stessa origine, il moto  $D_t: K \rightarrow \kappa$  è una rotazione  $B_t = B$  (cfr. pag. 383).

Indichiamo con  $e_N$  il versore dell'asse  $[e_z, e_3]$ ; poiché  $e_z$  ed  $e_3$  non coincidono, il versore  $e_N$  è ben definito e appartiene al piano contenente i versori  $e_x$  ed  $e_y$ .

Per sovrapporre il sistema fisso  $\kappa$  al sistema mobile  $K$  si devono compiere tre rotazioni:

1. una rotazione di un angolo  $\varphi$  intorno all'asse  $e_z$ , durante la quale  $e_z$  rimane fisso ed  $e_x$  si sovrappone a  $e_N$ ;